

APPROCHE ASYMPTOTIQUE D'UNE EDP ISSUE D'UNE 2EDSRQ

Hammou El-Otmany & M'hamed Eddahbi

Université Cadi Ayad des Sciences

Faculté des Sciences et Techniques - LaMSAFA

Workshop International sur le Calcul Stochastique et Ses Applications 2014

28 - 30 Mai 2014



Université Cadi Ayyad



SMA
Moroccan
Mathematical
Society



Plan

- 1 Motivations
- 2 2EDSR et EDP
- 3 Unicité de la solution de 2EDSR selon Cheredito et al.
- 4 2EDSR quadratique type
- 5 Étude d'un exemple issu de la finance
- 6 Approximation numérique du prix et de la stratégie de couverture
- 7 Résultats numériques
- 8 Conclusions et perspectives

Motivations

- ➡ Modéliser des produits dérivés
- ➡ Calculer et corriger les prix des produits dérivés
- ➡ Calculer la sensibilité aux variations de certains paramètres
- ➡ Calibrer des modèles

EDSR introduite par Bismut en 1973

$$Y_t = \xi + \int_t^T f(s, Y_s, Z_s) ds - \int_t^T Z_s dW_s, \quad 0 \leq t < T$$

où

- $(W_t)_{t \in [0, T]}$ est un mouvement brownien de dimension d
- $Y_T = \xi$ est une variable aléatoire de carrée intégrable
- $(\Omega, \mathcal{F}, \mathbb{P})$: espace de probabilité
- $\mathbb{F}^{s, T} = (\mathcal{F}_t^s)_{t \in [s, T]} = \sigma(W_t - W_s, t \in [s, T])$
- \mathcal{S}^d est l'ensemble des matrices symétriques de \mathcal{M}^d

Pardoux–Peng, 1990, f est uniformément lipschitzienne en y et z, \dots

2EDSR introduite par Cheredito, Soner, Touzi et Victoir

$$dY_t = f(t, X_t, Y_t, Z_t, \Gamma_t) dt + Z'_t \circ dX_t, \quad t \in [0, T),$$

$$dZ_t = A_t dt + \Gamma_t dX_t, \quad t \in [0, T),$$

$$Y_T = g(X_T)$$

où

- $dX_t = \mu(X_t)dt + \sigma(X_t)dW_t, \quad X_0 = x$
- f est un générateur défini de $[0, T] \times \mathbb{R}^d \times \mathbb{R} \times \mathbb{R}^d \times \mathbb{S}^d$ vers \mathbb{R}
- \circ symbole de Stratonovich tel que

$$Z'_t \circ dX_t = Z'_t dX_t + \frac{1}{2} d\langle Z, X \rangle_t$$

- $g : \mathbb{R}^d \rightarrow \mathbb{R}$ est continue (payoff d'un produit dérivée)
- Inconnu : $(Y_t, Z_t, \Gamma_t, A_t)_{t \in [0, T]}$

Équation aux dérivées partielles associée à 2EDSR

$$v_t(t, x) + f(t, x, v(t, x), Dv(t, x), D^2v(t, x)) = 0 \text{ sur } [0, T) \times \mathbb{R}^d$$

$$v(T, x) = g(x) \quad x \in \mathbb{R}^d$$

où la fonction $v : [0, T] \times \mathbb{R}^d \rightarrow \mathbb{R}$ est continue telle que

- v_t , Dv , D^2v et $\mathcal{L}Dv$ existent et sont continues sur $[0, T] \times \mathbb{R}^d$ où

$$\mathcal{L}v(t, x) = v_t(t, x) + \frac{1}{2} \text{Tr} [D^2v(t, x) \sigma(x) \sigma(x)']$$

- La fonction v résout l'équation aux dérivées partielles

P. Cheredito, M. Soner, N. Touzi, N. Victoir. Second Order Backward Stochastic Differential Equations and Fully Non-Linear Parabolic PDEs, 2007.

Hypothèses sur le générateur f

- ❶ f est uniformément lipschitzienne en y
- ❷ Il existe des constantes $F, p_2 \geq 0$ telles que

$$|f(t, x, y, z, \gamma)| \leq F(1 + |x|^{p_2} + |y| + |z|^{p_2} + |\gamma|^{p_2}) \quad \forall (t, x, y, z, \gamma)$$

- ❸ Pour tout $(t, x, y, z) \in [0, T] \times \mathbb{R}^d \times \mathbb{R} \times \mathbb{R}^d$ et $\gamma, \gamma' \in \mathbb{S}^d$, on a

$$f(t, x, y, z, \gamma) \geq f(t, x, y, z, \gamma') \quad \text{si} \quad \gamma \leq \gamma'$$

- ❹ Il existe des constantes $G, p_3 \geq 0$ telles que

$$|g(x)| \leq G(1 + |x|^{p_3}) \quad \forall x \in \mathbb{R}^d$$

- ❺ EDP satisfait le **principe de comparaison** sur $[s, T)$ d'exposant de croissance $q = \max\{p_2, p_3, p_2 p_4, p_4 + 2\}$

Théorème (Unicité de la solution)

Supposons $\mathcal{H}_1 - \mathcal{H}_5$ sont vérifiées et il existe $(s, x) \in [0, T] \times \mathbb{R}^d$ tel que 2EDSR correspondant à $(X^{s,x}, f, g)$ admette une solution $(Y^{s,x}, Z^{s,x}, \Gamma^{s,x}, A^{s,x})$ avec $Z^{s,x} \in \mathcal{A}^{s,x}$. L'EDP associée à 2EDSR

- admet une unique solution de viscosité v sur $[s, T] \times \mathbb{R}^d$ à croissance d'exposant $q = \max\{p_2, p_3, p_2 p_4, p_4 + 2\}$,
- v est continue sur $[s, T] \times \mathbb{R}^d$,
- le processus $Y^{s,x}$ est de la forme $Y_t^{s,x} = v(t, X_t^{s,x})$, $t \in [s, T]$,

En particulier $(Y^{s,x}, Z^{s,x}, \Gamma^{s,x}, A^{s,x})$ est solution de 2EDSR correspondant à $(X^{s,x}, f, g)$ avec $Z^{s,x} \in \mathcal{A}^{s,x}$.

où

$$\mathcal{A}^{s,x} := \cup_{m \geq 0} \left\{ \max\{|Z_t|, |A_t|, |\Gamma_t|\} \leq m(1 + |X_t^{s,x}|^{p_4}), \forall t \in [s, T] \right\}$$

2EDSR quadratique

$$dY_t = f_q(t, X_t, Y_t, Z_t, \Gamma_t) dt + Z'_t \circ dX_t, \quad t \in [0, T),$$

$$dZ_t = A_t dt + \Gamma_t dX_t, \quad t \in [0, T),$$

$$Y_T = g(X_T)$$

où $f_q(t, x, y, z, \gamma) = a_1 L(x, y) + a_2 Q(x) + C^2(x) (a_3 \gamma^2 + a_4 \gamma)$,
 $(a_1, a_2, a_3, a_4) \in \mathbb{R}^2 \times \mathbb{R}^* \times \mathbb{R}^*$

Équation aux dérivées partielles associée à 2EDSRQ (*)

$$v_t(t, x) + f_q(t, x, v(t, x), Dv(t, x), D^2v(t, x)) = 0 \text{ sur } [0, T) \times \mathbb{R}^d$$

$$v(T, x) = g(x) \quad x \in \mathbb{R}^d$$

Conditions sur le générateur f_q sur $\gamma > 0$

- ❶ f_q est uniformément lipschitzienne en y
- ❷ Il existe des constantes $C, p_2 \geq 0$ telles que

$$|f_q(t, x, y, z, \gamma)| \leq C(1 + |x|^{p_2} + |y| + |z|^{p_2} + |\gamma|^{p_2}) \quad \forall (t, x, y, z, \gamma)$$

- ❸ f_q est strictement décroissante et concave en γ pour tout $\gamma > 0$
- ❹ Il existe des constantes $G, p_3 \geq 0$ telles que

$$|g(x)| \leq G(1 + |x|^{p_3}) \quad \forall x \in \mathbb{R}^d$$

- ❺ EDP satisfait le **principe de comparaison** sur $[s, T)$ d'exposant de croissance $q = \max\{p_2, p_3, p_2p_4, p_4 + 2p_1\}$

Théorème (Unicité de la solution)

Supposons que le générateur quadratique f_q vérifie les conditions précédentes sur le domaine $\gamma > 0$ et g est au plus à croissance polynomiale. Supposons que l'EDP(*) possède une solution aux sens de viscosité. Alors, 2EDSRQ avec le générateur quadratique f_q admet au moins une solution. En plus si 2EDSRQ admet une solution, alors l'EDP associée à 2EDSRQ admet une unique solution et satisfait $Y_t = u(t, X_t)$.

Données de marché (dimension $d = 1$)

Actif risqué : $dS_t = rS_t dt + \sigma S_t dW_t$.

Actif sans risque : $dS_t^0 = rS_t^0 dt, S_0^0 = 1$.

Classe des équations différentielles stochastiques :

$$\begin{cases} dV_t = (rV_t - \alpha\gamma_t^2) dt + \phi_t \sigma S_t dW_t, & t \in [0, T) \\ d\phi_t = \beta_t dt + \gamma_t dW_t, & t \in [0, T) \\ V_T = g(S_T) \end{cases}$$

où

- $\alpha \in \mathbb{R}_+^*$,
- γ_t^2 : Variation quadratique de la quantité d'actif risqué,
- $\alpha\gamma_t^2$: Taxe sur les flux financiers proportionnelle à γ_t^2 ,
- g : payoff de l'option européenne (*Call* ou *Put*).

Formulation de 2EDSR

Selon le formalisme de Cheredito et al., nous avons :

$$\begin{cases} dV_t = f(t, S_t, V_t, \phi_t, \Gamma_t) dt + \phi_t \circ dS_t, & t \in [0, T) \\ d\phi_t = A_t dt + \Gamma_t dS_t, & t \in [0, T) \\ V_T = g(S_T) \end{cases}$$

où $f(t, x, y, z, \gamma) = ry - rxz - \alpha\sigma^2 x^2 \gamma^2 - \frac{\sigma^2}{2} x^2 \gamma$

Problématique

Trouver

- ϕ_t la stratégie du financement

$\leadsto (V_t, \phi_t, \Gamma_t, A_t) ?$

- V_t prix de l'option européenne

Vérification des hypothèses de Cheredito et al.

Le générateur f est **quadratique** en γ :

$$f(t, x, y, z, \gamma) = ry - rxz - \alpha\sigma^2 x^2 \gamma^2 - \frac{\sigma^2}{2} x^2 \gamma$$

- Continuité
- Lipschitzieneté en y
- Croissance linéaire en x, z et γ
- Continuité et croissance linéaire du payoff
- Décroissance en γ
- Comparaison principale.

OK

OK

OK

OK

Non

Non

→ Théorème d'unicité de la solution.

Non

Vérification des nouvelles conditions pour f_q

Le générateur f est **quadratique** en γ :

$$f(t, x, y, z, \gamma) = ry - rxz - \alpha\sigma^2 x^2 \gamma^2 - \frac{\sigma^2}{2} x^2 \gamma$$

- Continuité
- Lipschitzieneté en y .
- Croissance linéaire en x, z et γ .
- Continuité et croissance linéaire du payoff.
- Convexité et décroissance en $\gamma > 0$.
- Comparaison principale.

OK

OK

OK

OK

OK

OK

→ Théorème d'unicité de la solution.

OK

Équation aux dérivées partielles associée à notre 2EDSRQ en ε

$$\mathcal{L}_{BS} u^\varepsilon(t, x) = \varepsilon \sigma^2 x^2 \left(\frac{\partial^2 u^\varepsilon}{\partial x^2}(t, x) \right)^2 \quad \text{sur } [0, T) \times \mathbb{R},$$

où

- la condition terminale est $u^\varepsilon(T, x) = g(x)$
- \mathcal{L}_{BS} est l'opérateur de Black–Scholes donné par

$$\mathcal{L}_{BS} = -\frac{\partial}{\partial t} + r \left(\cdot - x \frac{\partial}{\partial x} \right) - \frac{\sigma^2}{2} x^2 \frac{\partial^2}{\partial x^2}$$

Difficulté

Il n'y a pas d'approche probabiliste de la solution de l'EDP

Solution proposée

$$\begin{aligned} u^\varepsilon(t, x) &= u_0(t, x) + \varepsilon u_1(t, x) + \varepsilon^2 u_2(t, x) + \dots \\ &= \sum_{i=0}^{\infty} \varepsilon^i u_i(t, x) \end{aligned}$$

EDP à résoudre

$$\sum_{i=0}^{\infty} \varepsilon^i \mathcal{L}_{BS} u_i = \varepsilon \sigma^2 x^2 \left(\sum_{i=0}^{\infty} \varepsilon^i \frac{\partial^2 u_i}{\partial x^2} \right)^2$$

Algorithme 1

$$\mathcal{L}_{BS} u_0 = 0, u(T, \cdot) = g(\cdot),$$

pour $i = 1, 2, \dots; j = 0, 1, 2, \dots$

pour $k = \frac{i-1}{2}$

si $k \in \mathbb{N}$ *alors*

$$\mathcal{L}_{BS} u_i = \sigma^2 x^2 \left(\frac{\partial^2 u_k}{\partial x^2} \right)^2 + 2\sigma^2 x^2 \sum_{j < 2k} \varepsilon^j \frac{\partial^2 u_{2k}}{\partial x^2} \frac{\partial^2 u_j}{\partial x^2},$$

$$u(T, \cdot) = 0$$

$$2k + j = i - 1,$$

sinon

$$\mathcal{L}_{BS} u_i = 2\sigma^2 x^2 \sum_{j < 2k} \varepsilon^j \frac{\partial^2 u_{2k}}{\partial x^2} \frac{\partial^2 u_j}{\partial x^2},$$

$$u(T, \cdot) = 0$$

$2k + j = i - 1$ *et* ε *tend vers* 0.

Étape de la résolution

EDP 1

$$\mathcal{L}_{BS} u_0 = 0, \quad u_0(T, x) = g(x)$$

- EDP de Black Scholes
- EDP admet une solution analytique

EDP 2

$$\mathcal{L}_{BS} u_1 = \sigma^2 x^2 \left(\frac{\partial^2 u_0}{\partial x^2} \right)^2, \quad u_1(T, x) = 0$$

- EDP de Black Scholes avec le second membre
- EDP n'admet pas de solution explicite

Résolution numérique de l'EDP

Soyons d'accord sur les notations :

$$\begin{array}{ccc}
 & \downarrow \text{ temps} & \\
 U_j^n & & n = 0 \quad \text{condition initiale} \\
 & \uparrow \text{ espace} &
 \end{array}$$

$j = 0$ et M : conditions limites au bord du domaine

n varie de 1 à N j varie de 0 à M

Schéma de Crank–Nicholson

$$\left\{ \begin{array}{l} j = 0, 1, 2, \dots, M; \quad n = 0, 1, 2, \dots, N \\ \frac{u_j^{n+1}}{\Delta t} + \frac{1}{2} r u_j^{n+1} - \frac{1}{2} r x_j \frac{u_{j+1}^{n+1} - u_{j-1}^{n+1}}{2h} - \frac{1}{2} \frac{\sigma^2}{2} x_j^2 \frac{u_{j+1}^{n+1} - 2u_j^{n+1} + u_{j-1}^{n+1}}{h^2} = C^n \\ C^n = \frac{u_j^n}{\Delta t} - \frac{1}{2} r u_j^n + \frac{r}{2} x_j \frac{u_{j+1}^n - u_{j-1}^n}{2h} + \frac{1}{2} \frac{\sigma^2}{2} x_j^2 \frac{u_{j+1}^n - 2u_j^n + u_{j-1}^n}{h^2} + \frac{1}{2} (F_j^n + F_j^{n+1}) \\ u_0 = u_{M+1} = 0 \end{array} \right.$$

Forme matricielle du schéma de Crank–Nicholson

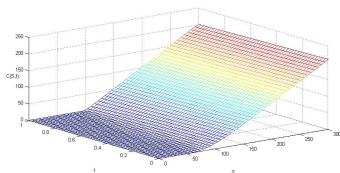
$$\left(I + \frac{1}{2}A\right) U_{new} = \left(I - \frac{1}{2}A\right) U_{old} + B$$

où $U_{new} = (u_1^{n+1}, u_2^{n+1}, \dots, u_M^{n+1})^t$; $U_{old} = (u_1^n, u_2^n, \dots, u_M^n)^t$,

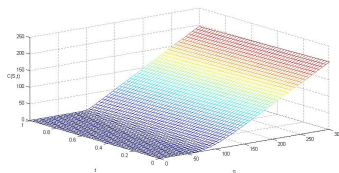
$$A = \begin{pmatrix} \beta_1 & \gamma_1 & 0 & \cdots & 0 \\ \alpha_1 & \ddots & \gamma_2 & \ddots & \vdots \\ 0 & \alpha_2 & \ddots & \ddots & 0 \\ \vdots & \ddots & \ddots & \ddots & \gamma_M \\ 0 & \cdots & 0 & \alpha_M & \beta_M \end{pmatrix}, \quad B = \begin{pmatrix} \frac{\Delta t}{2} (F_1^n + F_1^{n+1}) \\ \vdots \\ \vdots \\ \vdots \\ \frac{\Delta t}{2} (F_M^n + F_M^{n+1}) \end{pmatrix}$$

$$\beta_j = \left(r + \left(\frac{\sigma x_j}{h}\right)^2\right) \Delta t; \alpha_j = \left(\frac{rx_j}{2h} - \frac{1}{2} \left(\frac{\sigma x_j}{h}\right)^2\right) \Delta t; \gamma_j = -\left(\frac{rx_j}{2h} + \frac{1}{2} \left(\frac{\sigma x_j}{h}\right)^2\right) \Delta t$$

analytique et numérique de Black–Scholes



(a) Sol. analytique

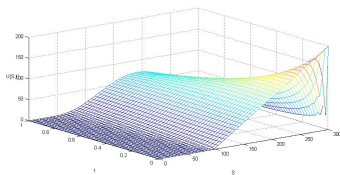


(b) Sol. numérique

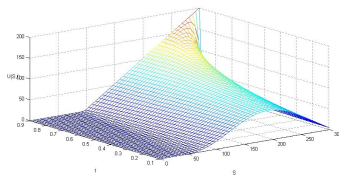
Fig : Solutions analytiques et numériques de BS :

$$\sigma = 0.3, r = 0.1, T = 1 \text{ ans}, M = N = 50, K = 100$$

Solution de l'EDP 2 et l'EDP 3



(a) Solution u_1



(b) Solution u_2

Fig : Graphes en 3D des prix de l'étape 2 et 3

Prix approché de l'option pour différentes valeurs de ε

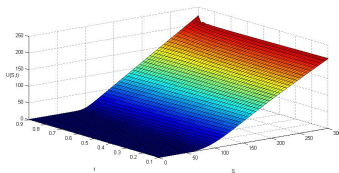
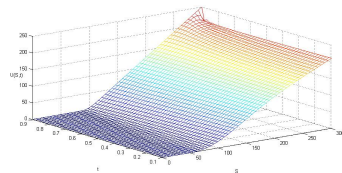
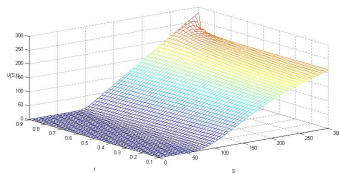
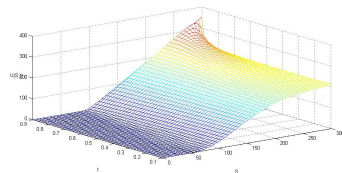
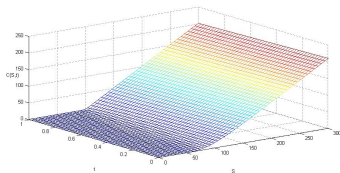
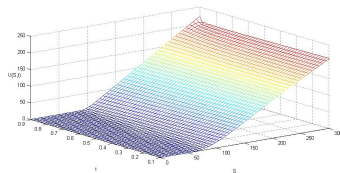
(a) $\varepsilon = 0.1$ (b) $\varepsilon = 0.2$ (c) $\varepsilon = 0.3$ (d) $\varepsilon = 0.5$

Fig : Prix $u^\varepsilon = u_0 + \varepsilon u_1 + \varepsilon^2 u_2 + \varepsilon^3 u_3$

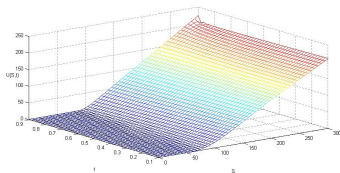
Prix approché de l'option



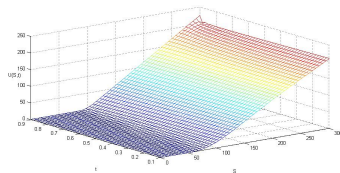
(a) Prix de Black Scholes u_0



(b) Solution $u_0 + \varepsilon u_1$



(c) Solution $u_0 + \varepsilon u_1 + \varepsilon^2 u_2$

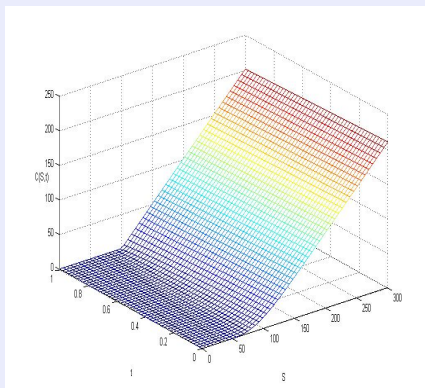


(d) Solution $u_0 + \varepsilon u_1 + \varepsilon^2 u_2 + \varepsilon^3 u_3$

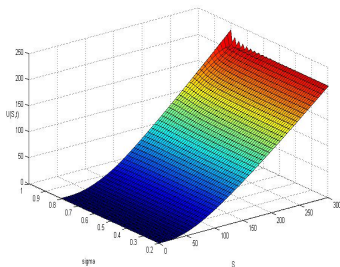
Fig : Graphes représentatifs des prix à l'ordre 0, 1, 2 et 3 en ε

Convergence du prix approché vers le prix de BS

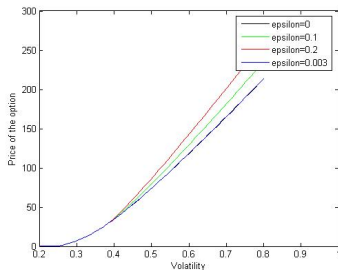
Valeur de ε	Erreur $u^{2,\varepsilon}$ et $u^{3,\varepsilon}$
0.1	$1.67324 \cdot 10^{-9}$
0.2	$3.98077 \cdot 10^{-7}$
0.3	$4.35102 \cdot 10^{-3}$
0.5	$1.23501 \cdot 10^{-1}$
10^{-3}	$2.34200 \cdot 10^{-12}$
10^{-4}	$3.87100 \cdot 10^{-15}$
10^{-7}	$1.43007 \cdot 10^{-21}$

Fig : Prix u^ε ; $\varepsilon = 0.0001$

Propriété de croissance en volatilité du prix



(a) Nappe du prix u en fonction de σ



(b) Prix u en fonction de σ

Fig : Prix $u^\epsilon = u_0 + \epsilon u_1 + \epsilon^2 u_2$; $\epsilon = 0.1$; $0.1 \leq \sigma \leq 0.8$

Stratégie de couverture : delta de l'option

Le delta de la couverture est donné par

$$\Phi_t = \frac{\partial u^\varepsilon}{\partial x}(t, S_t) = \Delta_{BS} + \varepsilon \frac{\partial u_1}{\partial x}(t, S_t) + \varepsilon^2 \frac{\partial u_2}{\partial x}(t, S_t)$$

où

- $\Delta_{BS} = \frac{\partial u_0}{\partial x}(t, S_t),$
- u_1 est solution $\mathcal{L}_{BS} u_1 = \sigma^2 x^2 \left(\frac{\partial^2 u_0}{\partial x^2} \right)^2, \quad u_1(T, x) = 0 \quad \forall x > 0$
- u_2 vérifie $\mathcal{L}_{BS} u_2 = 2\sigma^2 x^2 \frac{\partial^2 u_0}{\partial x^2} \frac{\partial^2 u_1}{\partial x^2}, \quad u_2(T, x) = 0 \quad \forall x > 0.$

Algorithme utilisé pour le calcul numérique

- Discrétisation de $[0, T]$ en N points avec $t_i = \frac{T}{N}$.
- Génération de gaussiennes et calcul de l'actif risqué par Black Scholes

$$S_{\frac{i+1}{N}} = S_{\frac{i}{N}} \exp \left(\left(r - \frac{\sigma^2}{2} \right) \frac{1}{N} + \sigma \left(W_{\frac{i+1}{N}} - W_{\frac{i}{N}} \right) \right).$$

- Calcul de la stratégie à l'instant t_i .

$$\Phi_{t_i} = \frac{\partial u^\varepsilon}{\partial x}(t_i, S_{t_i}).$$

- Calcul de $V_{t_{i+1}}$ par

$$V_{t_{i+1}} = V_{t_i} + \Phi_{t_i} S_{t_{i+1}} + \Phi_{t_i}^0 S_{t_{i+1}}^0 - \varepsilon (\Phi_{t_{i+1}} - \Phi_{t_i})^2.$$

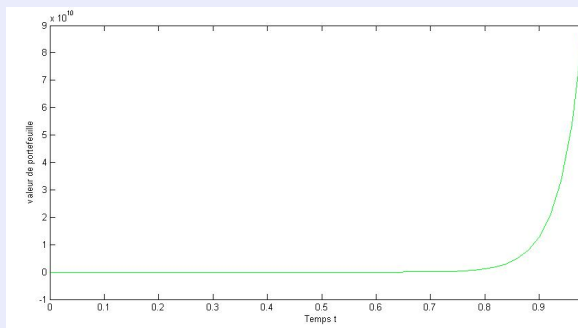
Valeur de Φ 

Fig : Valeur de portefeuille V en fonction de temps t

Conclusions

- Schéma de Crank–Nicholson est inconditionnellement stable
- Croissance en volatilité du prix de l'option
- Ordre d'approximation du prix est 2
- Lorsque ϵ est suffisamment petit, le prix approché de l'option converge vers celui de Black–Scholes

Perspectives

- Existence et unicité de solution pour 2EDSR quadratique en y et γ
- Article encours de rédaction

Discrétisation de 2EDSRQ

$$\left\{ \begin{array}{l} S_s^{s,x} = x, \quad V_t^N = g(S_t^{s,x}), \quad \phi_t^N = g_x(S_t^{s,x}), \\ \forall \quad 1 \leq n \leq N, S_{t_n}^{s,x} = x \exp \left[\left(r - \frac{\sigma^2}{2} \right) t_n + \sigma W_{t_n} \right], \\ V_{t_{n-1}}^N = \mathbb{E} \left(V_{t_n}^N \mid S_{t_{n-1}}^{s,x} \right) - \varphi \left(t_{n-1}, S_{t_{n-1}}^{s,x}, V_{t_{n-1}}^N, \phi_{t_{n-1}}^N, \Gamma_{t_{n-1}}^N \right) (t_n - t_{n-1}) \\ \phi_{t_{n-1}}^N = \frac{1}{\sigma(t_n - t_{n-1}) S_{t_{n-1}}^{s,x}} \mathbb{E} \left((W_{t_n} - W_{t_{n-1}}) V_{t_n}^N \mid S_{t_{n-1}}^{s,x} \right), \\ \Gamma_{t_{n-1}}^N = \frac{1}{\sigma(t_n - t_{n-1}) S_{t_{n-1}}^{s,x}} \mathbb{E} \left((W_{t_n} - W_{t_{n-1}}) \phi_{t_n}^N \mid S_{t_{n-1}}^{s,x} \right), \\ A_{t_{n-1}}^N = \frac{1}{t_n - t_{n-1}} \mathbb{E} \left(\phi_{t_n}^N (W_{t_n} - W_{t_{n-1}})^2 \mid S_{t_{n-1}}^{s,x} \right) - r S_{t_{n-1}}^{s,x} \Gamma_{t_{n-1}}^N - \phi_{t_{n-1}}^N \end{array} \right.$$

où

$$\varphi(t, S_t^{s,x}, V_t, \phi_t, \Gamma_t) = r V_t + \alpha \sigma^2 (S_t^{s,x})^2 \Gamma_t^2$$

et $t_n = s + \frac{n(T-s)}{N}$.

Un très grand merci aux
organisateurs